

В заключение отметим, что выводы настоящей работы проверялись экспериментально при продувке воздухом вертикальных консольных труб с массой на конце. Колебания труб вызывались разрывом поперечной связи, обеспечивающей предварительное отклонение трубы. Полученные результаты приведены на рис. 4. Как следует из рис. 4, экспериментальные точки удовлетворительно совпадают с результатом расчета.

ЛИТЕРАТУРА

1. *Болотин В. В.* Неконсервативные задачи теории упругой устойчивости. М., Физматгиз, 1961.
2. *Ковревский А. П.* Свободные колебания консольной балки, несущей поток массы. — В сб.: «Динамика и прочность машин». Харьков, ХГУ, 1965, вып. 2.
3. *Ковревский А. П.* Экспериментальное и теоретическое исследование свободных колебаний труб, содержащих протекающую жидкость. «Изв. высш. учеб. заведений. Энергетика», 1964, № 4.

УДК 621.438 (088.8)

В. К. ЛОБАНОВ, А. Б. ХРУСТАЛЕВ

ОЦЕНКА ДЕМПФИРУЮЩИХ СВОЙСТВ ОДНОГО ТИПА УПРУГИХ ОПОР ГТД

На рис. 1 приводится вариант конструктивного исполнения опоры [1] с двумя упругими кольцами Аллисона, в осевой зазор между которыми подается масло. В настоящее время опоры такого типа включены в конструкцию ряда ГТД.

Рассмотрим работу демпфера с одним упругим кольцом при малых круговых колебаниях подшипника с амплитудой a и частотой ω . Введем систему координат $\xi O \eta$, вращающуюся с угловой скоростью ω относительно неподвижной системы координат $хоу$. Ось ξ проходит через центр корпуса опоры o и центр подшипника o_1 (рис. 2). Между угловыми координатами неподвижных точек в системах $\xi O \eta$ и $хоу$ (соответственно, φ и ψ) имеет место соотношение

$$\varphi = \psi - \omega t. \quad (1)$$

С точностью до величин порядка $\frac{d^2}{R^2}$, где R — радиус подшипника, радиальное перемещение точки поверхности подшипника с координатой φ

$$\xi = a \cos \varphi. \quad (2)$$

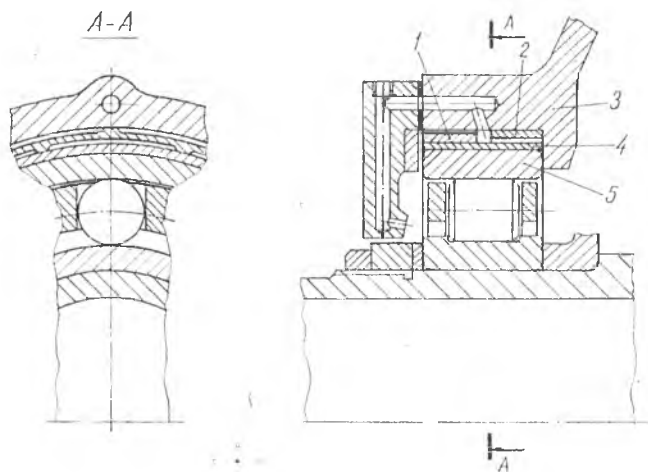


Рис. 1. Упруго-демпферная опора:
1, 2 — упругие элементы; 3 — корпус опоры; 4 — втулка; 5 — подшипник

Экспериментально установлено, что выступы кольца, находящиеся со стороны, противоположной перемещению центра подшипника, отрываются от обеих опорных поверхностей.

Имея в виду такую картину деформации упругого кольца, будем отдельно рассматривать его половины, находящиеся слева и справа от оси η , причем, считая число выступов кольца n достаточно большим, сжатую половину (справа от оси η) упрощенно представим как совокупность балочек с заделанными концами (рис. 3). Каждая балочка находится между двумя плоскими параллельными поверхностями, верхняя из кото-

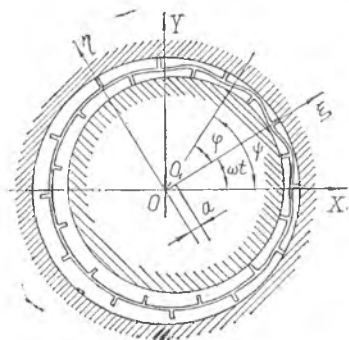


Рис. 2. Схема деформации упругого элемента

рых связана с выступом в середине балочки и перемещается по закону

$$\xi_n = a \cos \varphi_n,$$

где φ_n — координата середины n -й балочки. Сверху и снизу на балочку действуют динамические давления масла, соответ-

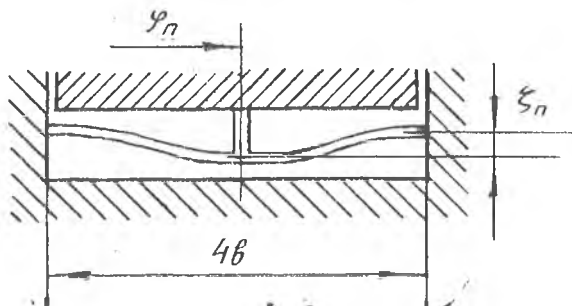


Рис. 3. Элемент сжатой половины демпфера

ственно, p_v и p_n , для определения которых не используем известное выражение [2]

$$p(s, u, t) = \frac{6\mu h(s, t)}{h^3(s, t)} (u^2 - l^2), \quad (3)$$

где s — продольная координата;

u — координата по ширине балочки, $-l \leq u \leq l$.

μ — динамическая вязкость масла;

$h(s, t)$ — толщина слоя.

Для толщины слоя сверху и снизу балки имеем, соответственно:

$$h_n = h_0 - \xi_n + z; \quad h_v = h_0 - z, \quad (4)$$

где h_0 — толщина слоя при несмещенном подшипнике;

z — упругий прогиб балки.

Подставляя (4) в (3) и отбрасывая нелинейные члены, находим погонную нагрузку на балку:

$$q = \int_{-l}^l (P_v - P_n) du = -2\mu \Lambda^3 \dot{z} + \mu \Lambda^3 a \omega \sin \varphi_n, \quad (5)$$

$$\text{где } \Lambda = \frac{2l}{h_0}.$$

Уравнение равновесия балки без учета инерционной нагрузки будет иметь вид

$$EI \frac{\partial^4 z}{\partial s^4} + 2\mu \Lambda^3 \dot{z} = \mu \Lambda^3 a \omega \sin \varphi_n. \quad (6)$$

где EI — изгибная жесткость балки.

Избавляясь от неоднородности уравнения (6), представим его решение в виде $z = \frac{a}{2} \cos \varphi_n + z_0$, где z_0 находится из следующей краевой задачи:

$$\left. \begin{aligned} EI \frac{\partial^4 z_0}{\partial s^4} + 2\mu \Lambda^3 \dot{z}_0 &= 0, & 0 \leq s \leq b; \\ z_0(0, t) = \frac{\partial z_0}{\partial s}(0, t) = \frac{\partial z_0}{\partial s}(b, t) &= 0; \\ z_0(b, t) &= \frac{a}{2} \cos \varphi_n. \end{aligned} \right\} \quad (7)$$

Часть реакции демпфера, образуемая n -й балочкой, складывается из давления масла под ней и реакции выступа:

$$\begin{aligned} R_n &= 2 \left[\int_{-b}^b \int_{-l}^l p_n du ds - EI \frac{\partial^3 z_0}{\partial s^3}(b, t) \right] = \\ &= 2 \left[\mu \Lambda^3 b a \omega \sin \varphi_n - EI \frac{\partial^3 z_0}{\partial s^3}(b, t) \right]. \end{aligned} \quad (8)$$

Проекция полной реакции рассматриваемой половины демпфера на ось η_1 , определяющая ее неупругое сопротивление,

$$R_{\eta_1} = - \sum_n R_n \sin \varphi_n = - a \omega n_1,$$

где n_1 — коэффициент гидродинамического демпфирования.

Найдя точное решение задачи (7) обычным методом решения линейных уравнений и подставив его в (9), мы придем к следующему выражению для n_1 :

$$n_1 = 2 \mu \Lambda^3 \sum_n \left[b + \frac{1}{2} \Theta_1(b) \right] \sin^2 \varphi_n, \quad (10)$$

$$\text{где } \Theta_1(b) = \frac{4}{\gamma} - \frac{LM + KN}{M^2 + N^2}; \quad \gamma = \sqrt{\frac{2 \mu \Lambda^3 \omega}{EI}};$$

$$K = \alpha (H_g - H_6) - \beta (H_{15} + H_6);$$

$$L = \alpha (H_{15} + H_6) + \beta (H_g - H_6);$$

$$M = H_{13} + H_2 - H_{10} - H_5;$$

$$N = H_{11} - H_4 + H_{12} + H_3;$$

$$\alpha = \cos \frac{\pi}{8}; \quad \beta = \sin \frac{\pi}{8}.$$

H_k ($k=0, 1, \dots, 15$) обозначают произведения двух тригонометрических и двух гиперболических функций с зафиксированным порядком следования аргументов. Для восстановления вида функции по обозначению достаточно записать ее индекс в виде четырехзначного двоичного числа и затем поставить в со-

ответствие единицам — косинусы (тригонометрический или гиперболический), а нулям — синусы, причем первым двум цифрам индекса должны соответствовать тригонометрические функции, а последним — гиперболические.

Нетрудно убедиться, что

$$\lim_{n \rightarrow \infty} \sum \frac{b}{n} \sin^2 \varphi_n = \frac{\pi R}{8}. \quad (11)$$

Рассмотрим теперь вторую половину демпфера. Вычисляя, как и в случае балки, погонную нагрузку и отбрасывая инерционный член, получим следующее уравнение равновесия полукольца:

$$\omega^{IV} + 2\omega^{II} + \omega + 2\mu \Lambda^3 \frac{R_K^4}{EI} \omega = -\mu \Lambda^3 \frac{R_K^4}{EI} a \omega \sin \varphi, \quad (12)$$

где $\omega = \omega \varphi$ — радиальное перемещение;

R_K — средний радиус кольца;

\bar{I} — усредненный момент инерции поперечного сечения кольца.

Представив упругий прогиб кольца в виде $\omega = \omega_0 - \frac{a}{2} \cos \varphi$, мы приходим к следующей краевой задаче для ω_0 :

$$\left. \begin{aligned} \omega_0^{IV} + 2(\omega_0^{II} - \kappa \omega_0') \omega_0 &= 0, & -\frac{\pi}{2} \leq \varphi \leq \frac{\pi}{2}; \\ \omega_0 \left(\pm \frac{\pi}{2} \right) &= \omega_0' \left(\pm \frac{\pi}{2} \right) = 0, \end{aligned} \right\} \quad (13)$$

где $\kappa = \frac{R_K^4}{EI} \mu \Lambda^3 \omega$.

Характеристическое уравнение задачи (13)

$$\lambda^4 + 2\lambda^2 + 1 - 2\kappa\lambda = 0 \quad (14)$$

не имеет простого точного решения, поэтому его следует решать численно. Нетрудно показать, что для реальных параметров демпфера оно имеет два положительных вещественных корня λ_1 и λ_2 , один из которых близок к нулю, и два комплексно-сопряженных корня, представленных в виде $\lambda_{3,4} = -\gamma + i\delta$, где $\gamma > 0$, $\delta > 0$. Решение задачи (13) будет иметь вид $\omega_0(\varphi) =$

$a \sum_{k=1}^4 C_k W_k(\varphi)$, где $W_k(\varphi)$ — фундаментальные решения однородного уравнения; C_k — постоянные, определяемые из граничных условий.

Найдя $w(\varphi)$, можно вычислить проекцию на ось γ реакции рассматриваемой половины демпфера:

$$R_{\gamma} = \int_{-\frac{\pi}{2}}^{\frac{\pi}{2}} \int_{-l}^l P_B \sin \varphi \, du R_k \, d\varphi = \mu \Lambda^3 R_k w \int_{-\frac{\pi}{2}}^{\frac{\pi}{2}} (w' - a \sin \varphi) \sin \varphi \, d\varphi =$$

$$= -a w n_2, \quad (15)$$

где n_2 — коэффициент гидродинамического демпфирования.

Отсюда получаем:

$$n_2 = \mu \Lambda^3 R_k \left[\frac{\pi}{4} + \int_{-\frac{\pi}{2}}^{\frac{\pi}{2}} \Theta_2(\varphi) \sin \varphi \, d\varphi \right], \quad (16)$$

$$\text{где } \Theta_2(\varphi) = -\sum_{k=1}^4 C_k W_k'(\varphi).$$

Принимая для первого слагаемого (10) предельное выражение (11) и полагая $R_k \approx R$, находим полный коэффициент демпфирования:

$$n_d = n_1 + n_2 = \mu \Lambda^3 R \left[\frac{\pi}{2} + \sum \Theta_1(b) \sin^2 \varphi_n + \int_{-\frac{\pi}{2}}^{\frac{\pi}{2}} \Theta_2(\varphi) \sin \varphi \, d\varphi \right], \quad (17)$$

ЛИТЕРАТУРА

1. Лобанов В. К., Субботин А. М., Трушкин А. А. Демпферная опора. А. с., кл. F 16 Г 15/04, № 456107, заявл. 19.07.72, опубли. 05.01.75.
2. Сергеев С. И. Демпфирование механических колебаний. М., Физматгиз, 1959.